# ア線によるタービン潤滑油の劣化

γ-ray Radiation Damage in Turbine Lubricating Oils

茂 庭 喜 弘\* 中 村 剛\*
Yoshihiro Moniwa Gô Nakamura

# 要旨

 $Co-60\gamma$ 線を  $1\sim5\times19^8\gamma$  (roentgen) 照射し、油の色相、酸価、粘度、比重などを検討した。また赤外線吸収スペクトルを調べ、これらと油の化学的組成との関連性有無を検討した。アロマテック含量約  $10\sim50\%$  の油について得られた結果は、必ずしもアロマテック含量の多いものがすぐれているとはいえず、精製法、および添加剤の使用方法に検討の余地があると考えられる。また許容線量は粘度変化の許容限度を 20% とするとき、一般のタービン油は  $1\sim2\times10^8\gamma$  である。

#### 1. 緒 言

原子力プラントの潤滑に際し、従来の有機質潤滑剤を適用する場合の放射線傷害については、すでに多くの報告があり、耐放射線性にすぐれた油の開発も行なわれている<sup>(1)~(5)</sup>。

原子力発電に際してタービン潤滑油をどう考えるべきかについては、これが十分に遮へいされていることから放射線の照射レベルは低く、油は1×10<sup>8</sup> rad までの線量に耐えられるので、従来のタービン油が使えるといわれている。しかし遮へいが十分でなく10<sup>5</sup> rad/h程度の照射レベルの位置におかれる機器では、油の寿命は1,000時間くらいになる<sup>(4)</sup>。これらはおもに放射線によってひき起こされる油の粘度変化に注目した議論である。実際問題としてはさらに温度の影響、酸化劣化も考えられるので、これらを明らかにしておかなければならないと思う。また現実に入手できる油について、その放射線による劣化を確認しておくべきである。

油の放射線による劣化についてはかなり多くのデータが集積されているが<sup>(1)~(5)</sup>,<sup>(8)</sup>,国内のタービン油については確実なデータはない。一方鉱油中の化学成分のうちアロマテック成分を多くすれば許容線量の大きい油が得られると報告され<sup>(5)</sup>,この結果に基づくと思われる原子力用潤滑油がわが国の市場に提供されているが、これは輸入品であり国内ではまだこの種の油は開発されていない。

そこで鉱油系潤滑油に着目し、従来の添加剤入りタービン油およびアロマテック含量を多くしたといわれる輸入原子力用潤滑油を比較検討するとともに、国内の石油原油により、アロマテック含量を約10~50%、#90タービン油相当粘度の油を試作し、油の組成の影響を検討した。その結果若干の知見を得たので以下に概要を述べる。

# 2. 実 験 方 法

試油を硬質ガラス製試験管  $(28 \text{ mm} \phi \times 160 \text{ mm})$  に約 20 g 入れ,Co-60 1 万キュリー $\gamma$  線源の外筒 12.5 cm の位置に配置し, $1\sim5\times10^8\gamma$  の照射を実施した。 この場合試験管のガラス栓を取り除き,試料油面を大気に開放した状態で放置した。照射線量率は主として  $5.8\times10^5\gamma$ h,実験初期は同じ位置で  $7.0\times10^5\gamma$ h,後期には  $4.4\times10^5\gamma$ h であった。 これらの線量率の差は実験結果にほとんど影響しなかった。

### 3. 試油および組成分析結果

#### 3.1 試油およびその一般性状

表1は一般性状を示したもので、A-90、B-90は国内

で作られている添加剤入り  $\sharp$  90 タービン油で特に酸化安定性にすぐれたものをとり上げてある。C-冷,D-200 は輸入油でナフテンベースの油である。前者は冷凍機油,後者は  $\sharp$  200 級のタービン油である。A-90,B-90 らの VI は約 100,後者らの VI は約 40 前後である。

RN系は国内の石油原油からアロマテック含量約  $10\sim50\%$ ,  $\sharp$  90 タービン油相当粘度のものをめざした試作油である。RRL 系は輸入原子力用潤滑油ですべて鉱油である。このうちタービン用として推奨されているのは RRL-3 であるが,A-90,B-90 らよりもやや高粘度油である。またこの油については許容線量が明らかにされていない。  $\sharp$  90 タービン油に近似する粘度をもつのは RRL-6 で許容線量は  $1.0\times10^{18}$  neutrons/cm² とされる。RRL-4 の許容線量もこれと同じである。RRL-1,2,5 の3 種は許容線量  $1.6\times10^{18}$  neutrons/cm² とされている。これらの粘度は比較的大でタービン軸受にはむかない。原子力プラントの一般機械,歯車,マニュピレータなどに推奨されている。

炭化水素油に関する V. W. David の研究 (5) によると中性子線、 $\gamma$ 線らは同一のエネルギーレベルの場合、油に及ぼす効果は同じであると報告されている。また油を組成する各元素について 1 neutron/cm² に等価の吸収エネルギーを eV/g で求めた結果から、ナフテン系スピンドル留分に関し、 $1\times10^{17}$  neutrons/cm² は  $73\sim92$  Mrad に等価になることを示している。これより前記の  $1.0\times10^{18}$  neutrons/cm² は  $730\sim92$  Mrad,すなわち約  $7\sim9\times10^8$  rad(または約  $8\sim10\times10^8$   $\gamma$ )に相当することになり、従来鉱油系潤滑油について知られている許容線量  $1\times10^8$  rad に比べてかなり大きいことになる。

表1 油 状 試 料 の 一 般 性 状 測 定 結 果

測定項目	色	相	比 重	粘 度	(cSt)	VΙ	酸価	引火点 COC	μ
試 料	(==7	トン)	(15/4℃)	(37.8℃)	(98.9℃)	V I	(mgKOH/g)	(%)	(13~16℃)
A - 90	1 (	+)	0.880	37.50	5.70	100	0.08	197	0.26
B- 90	1 (	-)	0.861	37.12	5.64	99	0.06	208	0.29
C- 冷	1		0.892	20.91	3.64	36	0.01	162	0.13
D-200	1½		0.907	105.2	8.79	49	0.08	191	0.14
R N-1	2 (	-)	0.936	24.12	4. 26	83	0.02	165	0.16
R N-2	2 (	+)	0.966	23.72	3.41	-72	0.02	165	0.14
R N-3	4 (	-)	0.973	25. 26	3.58	-61	0.02	165	0.17
R N-4	2 (	-)	0.914	35.08	4.83	40	0.02	171	0.18
R N-5	1 (	+)	0.910	35. 21	4.83	39	0.02	171	0.17
R N-6	1		0.913	33.43	4.74	43	0.02	171	0.17
RRL-1	5 (	+)	0.938	462.4	22.45	57	0.09	242	0.16
RRL-2	8	<	0.949	106.5	46.45	57	0.09	268	0.12
RRL-3	1½		0.864	49.50	7.59	123	0.05	218	0.24
RRL-4	2 (	+)	0.904	138.5	10.40	45	0.02	221	0.19
RRL-5	41/2		0.931	261.5	13. 21	3	0.06	234	0.16
RRL-6	1½(	-)	0.885	34.90	5.65	111	0.06	197	0.24

<sup>\*</sup> 日立製作所日立研究所

日

表 2 n-d-M 分 析 値

		衣 乙	n-0	u-1V1	万	101 1	旦			
項目	組	成関連	値	炭	素分布	万分析	環分析值冷			
試料	比 重 (15/4℃)	屈折率 (nD <sup>20</sup> )	分子量	C <sub>A</sub> (%)	C <sub>N</sub> (%)	C <sub>R</sub> (%)	C <sub>P</sub> (%)	RA	R <sub>N</sub>	R <sub>T</sub>
A- 90	0.8794	1.4800	403	10.4	26.1	46.5	53.5	0.38	1.48	1.86
B- 90	0.8612	1.4705	426	7.1	28.7	35.8	64.2	0.21	1.22	1.43
C- 冷	0.8924	1.4902	253	12.3	47.3	59.6	40.4	0.38	1.86	2.24
D-200	0.9072	1.4981	391	17.1	33.6	50.7	49.3	0.48	2.60	3.08
R N-1	0.9357	1.5221	381	24.1	28.7	52.8	47.2	1.14	1.99	3.13
R N-2	0.9662	1.5470	255	42.5	25.6	68.1	31.9	1.36	1.28	2.64
R N-3	0.9731	1.5547	260	47.6	18.4	66.0	34.0	1.55	1.06	2.61
R N-4	0.9140	1.5063	313	18.5	36.8	55.3	44.7	0.71	1.92	2.63
R N-5	0.9100	1.5026	319	15.9	38.7	54.6	45.4	0.60	2.05	2.65
RN-6	0.9129	1.5021	318	14.1	42.6	56.7	43.3	0.55	2.21	2.76
RRL-1	0.9377	1.5230	297	26.7	34.4	61.1	38.9	0.99	1.79	2.78
RRL-2	0.9489	1.5331	488	27.8	20.1	47.9	52.1	1.73	1.98	3.71
RRL-3	0.8635	1.4780	440	5.0	25.3	30.3	69.7	0.26	1.66	1.92
RRL-4	0.9038	1.4970	444	9.3	36.5	45.8	54.2	0.50	2.67	3.17
RRL-5	0.9314	1.5262	399	29.8	14.6	44.4	55.6	1.50	1.20	2.70
RRL-6	0.8850	1.4844	390	2.4	42.1	44.5	55.5	0.12	2.55	2.67

表3 シリカゲルクロマト分析値

項目	供試量	分	析 值	(%)	全回収率
試 料	(g)	飽和分	ア ロ マ テック分	樹脂分	(%)
A- 90	10. 2316	89.84	8.36	0.68	99.06
B- 90	9.8090	91.39	8.29	0.31	99.99
C- 冷	10.4740	78.80	20.85	0.35	98.04
D-200	10.0200	70.73	28.61	0.66	99.37
R N-1	10.3744	49.79	49.42	0.79	98. 27
R N-2	10.0931	47.01	52.49	0.50	99.50
R N-3	9.9824	45.24	51.50	3.26	98.24
R N-4	10.2730	64.42	34.83	0.75	98.34
R N-5	10.2137	66.83	32.99	0.18	98.28
R N-6	10.1051	82.59	16.77	0.64	98.49
RRL-1	10.0400	39.06	56.48	4.46	99.76
RRL-2	10.0657	37.58	58. 23	4.19	98.02
RRL-3	10.0439	91.33	8.18	0.49	98.40
RRL-4	10.2029	70.73	28.61	0.66	98.24
RRL-5	10.1850	48.95	49.11	1.94	98.37
RRL-6	10.0097	79.93	19.63	0.44	98.45

#### 3.2 組成分析結果

#### 3.2.1 n-d-M分析值

表2に分析結果を示す。また  $C_A$  と  $R_A$  の関係を図1に示す。これらの結果から RRL 系の  $R_A/C_A$  は試作 RN 系のそれよりもやや大きいといえる。 $C_A$  は油中の全炭素原子に対するアロマテック炭素原子の百分率であり, $R_A$  は油の構成分子中に含まれるアロマテック環の平均数であるから,試作 RN 系は RRL 系に比較しアロマテック環についている側鎖の炭素原子数が多いと考えられる。またこの分析段階ではごく単純に考えれば  $R_A/C_A$  の大きい油の方が放射線に対し有利ではないかと思われる。

#### 3.2.2 シリカゲルクロマト分析値

表3はシリカゲルクロマト分析値である。n-d-M分析値から 予想されるのとは異なった結果を与える油もあるが、全般的には だいたい同様な傾向にある。

#### 3.2.3 赤外線吸収スペクトル

潤滑油中のアロマテック含量は、波数 1,600 cm $^{-1}$ 、810 cm $^{-1}$  の吸光度から推定できることを既報 $^{(6)}$ (7)したが、ここには 1,600 cm $^{-1}$  の吸収を示す。図 2 は RRL 系、図 3 は RN 系のスペクトルである。図 2 で RRL $^{-3}$  の吸収は最も弱く、ついで RRL $^{-6}$ 、RRL $^{-1}$ 、2、5 らは吸収が強い。図 3 には RN 系のほかに A $^{-90}$  タービン油のスペクトルを併記した。B $^{-90}$  のスペクトルもこれに類似する。 $^{-20}$ 0 のスペクトルは省略したが、RRL $^{-6}$ に近似する吸収を示す。

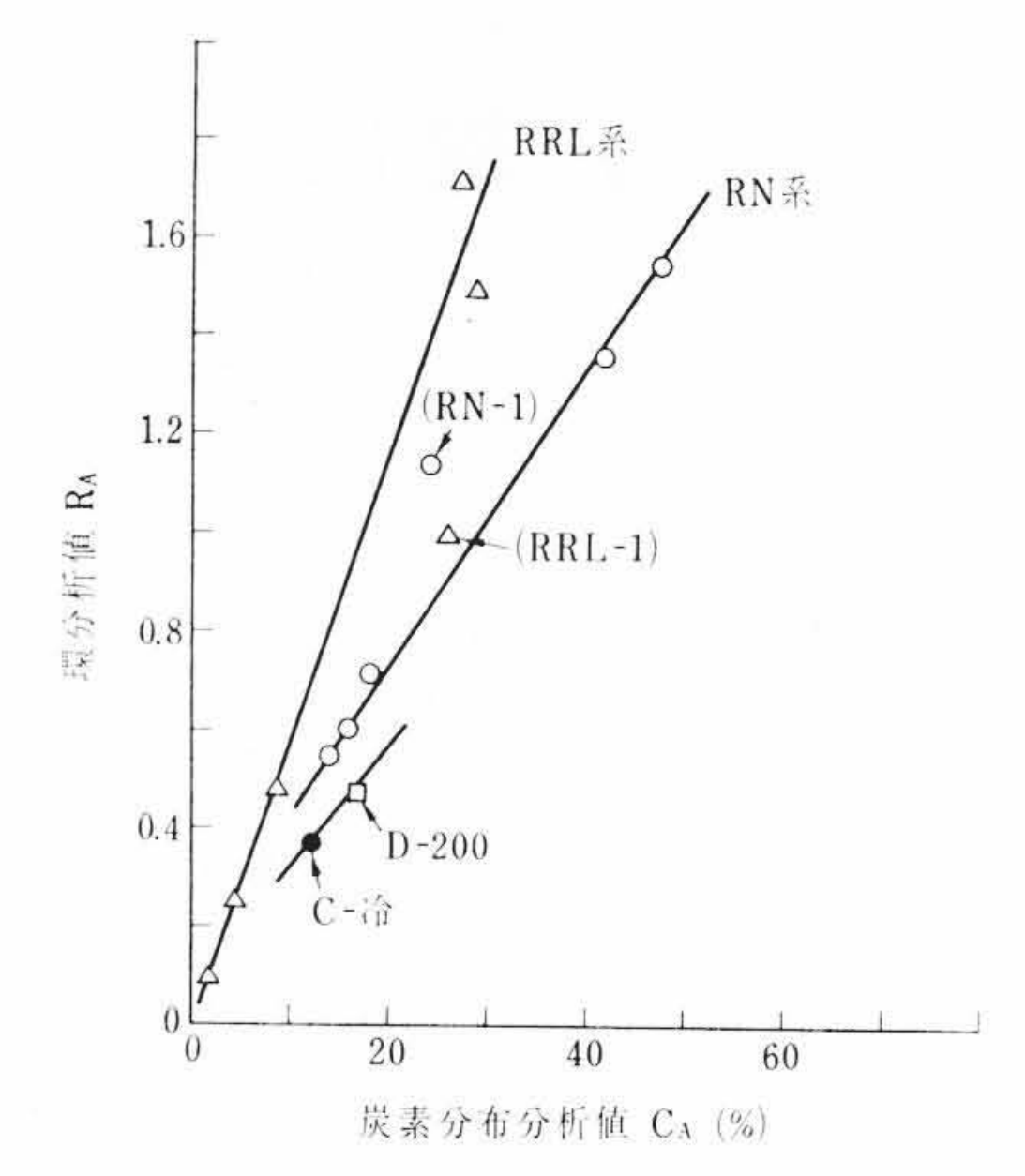


図1 n-d-M 分析における  $C_A$  と  $R_A$  の関係

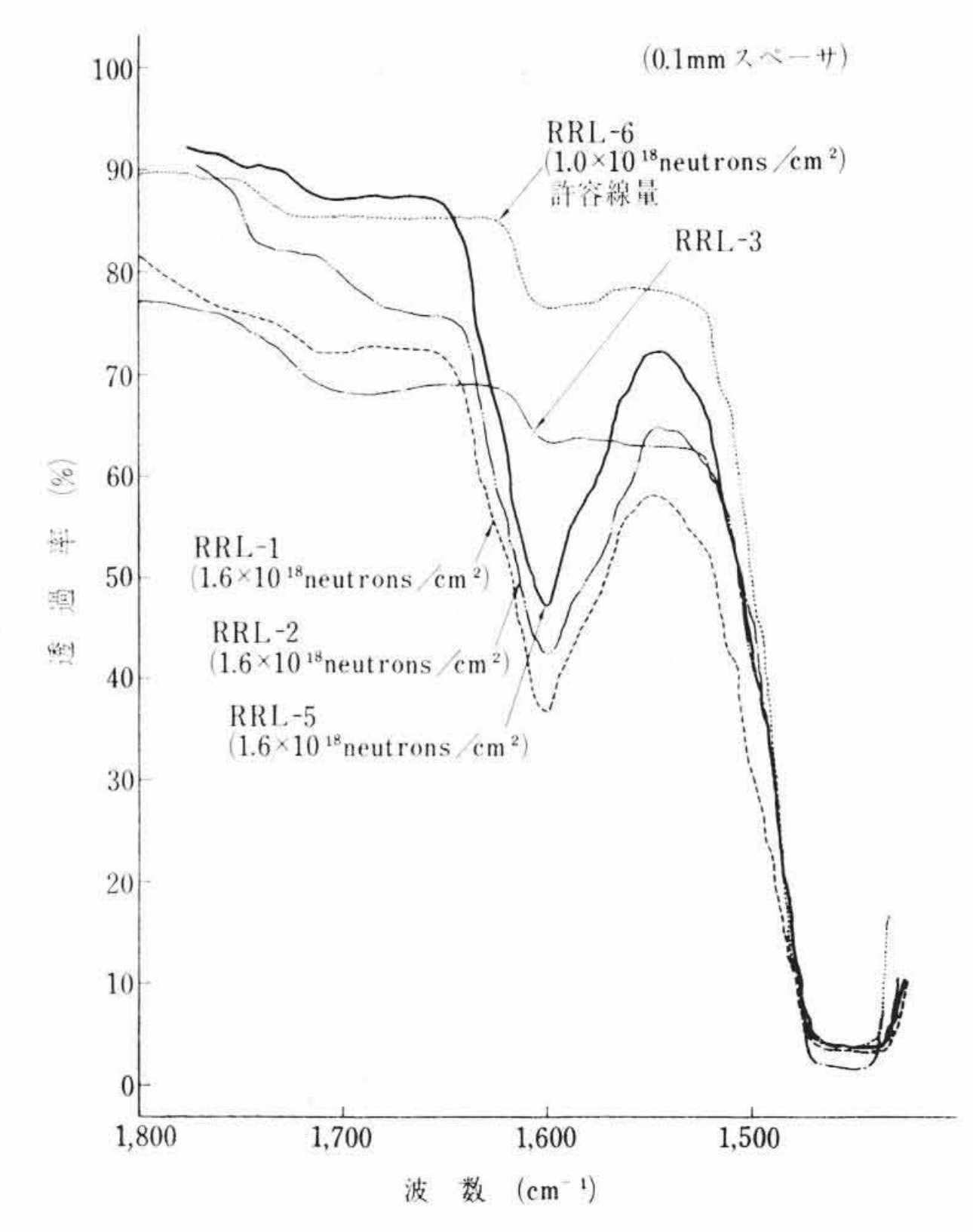


図2 RRL (新油) 1,600 cm<sup>-1</sup> 付近の 赤外吸収スペクトル

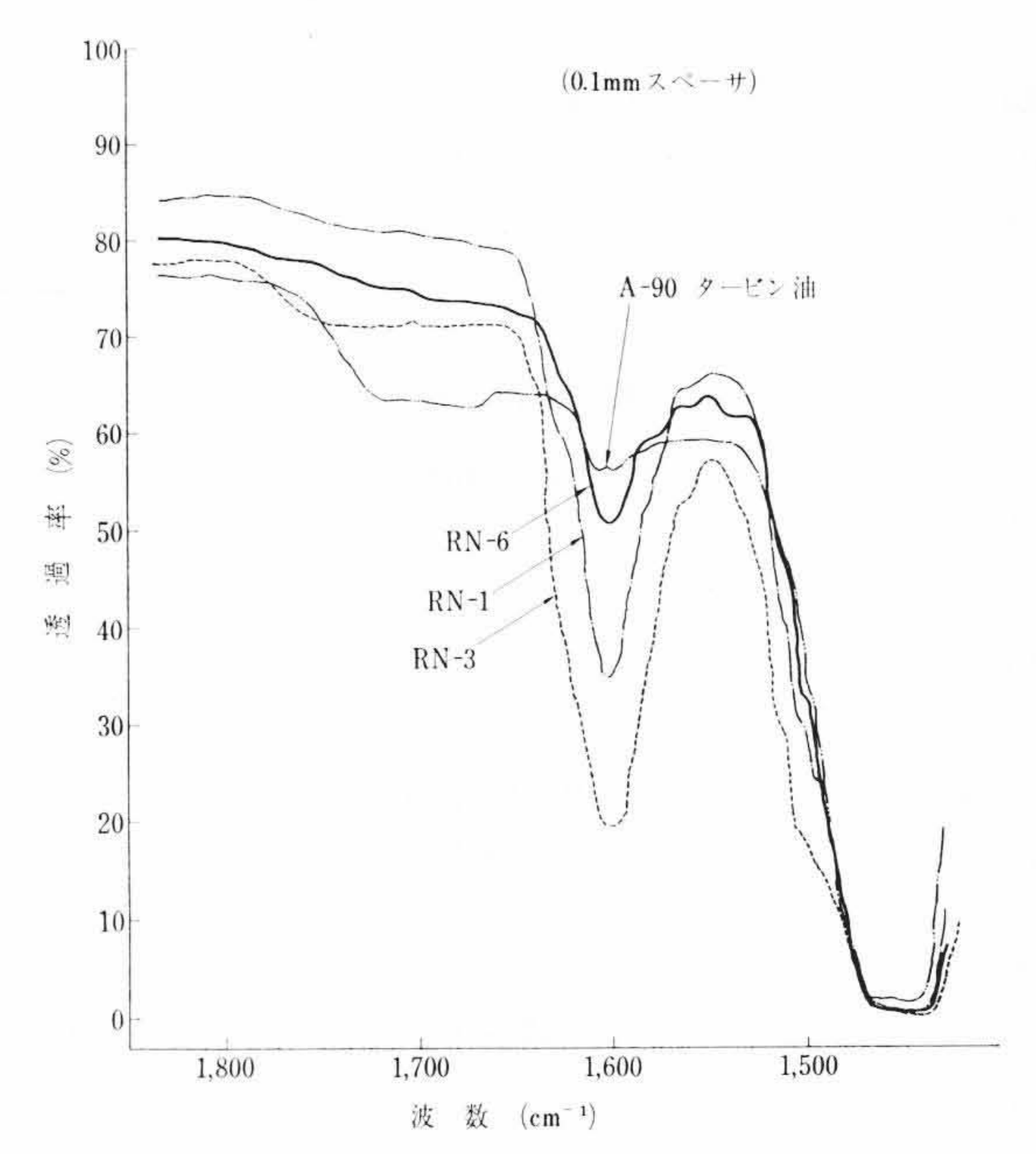


図3 RN油 (新油) 1,600 cm<sup>-1</sup> 付近の 赤外吸収スペクトル

表 4 試料油の放射線照射前後の性状

項目	照 射 量	色相	比 重	粘 度	(cSt)	粘度增加	叫率 (%)	3.7.T	酸価	
(7)	(ユニオン)	(15/4℃)	37.8℃	98.9℃	37.8℃	98.9℃	VI	(mgKOH/g)	μ	
	0	1 (+)	0.880	37.50	5.70			100	0.08	0.26
	$1.3 \times 10^{8}$	1½	0.885	40.45	5.88	7.9	3.5	95	0.02	0.22
A- 90	$2.14 \times 10^{8}$	$2\frac{1}{2}(-)$	0.887	45.64	6.20	21.7	8.8	88	0.02	0.23
	$3.5 \times 10^{8}$	3 (+)	0.889	53.49	6.84	42.6	20.0	88	0.02	0.25
	$5.0 \times 10^{8}$	4	0.891	64.70	7.74	72.5	35.8	90	0.03	0.22
	0	1 (-)	0.861	37.12	5.64	_		99	0.06	0.29
B- 90	$2.14 \times 10^{8}$	2 (+)	0.866	44.56	6.51	20.5	15.4	106	0.02	0.26
-	$3.5 \times 10^{8}$	$2\frac{1}{2}$	0.868	53.19	7.32	43.3	29.8	107	0.02	0.26
	$5.02 \times 10^8$	3	0.871	66.30	8.45	78.6	49.8	106	0.04	0.24
	0	1½	0.907	105. 2	8.79	-	_	49	0.08	0.14
D-200	$1.0 \times 10^{8}$	2	0.915	120.2	9.70	14.3	10.3	50	0.03	0.13
	$5.0 \times 10^{8}$	3	0.920	214.8	13.10	104	49.1	36	0.03	0.13
	0	41/2	0.986	39.00	7.20	_		143	0.07	0. 20
	$1.3 \times 10^{8}$	$2\frac{1}{2}$	0.992	51.75	9.14	32.7	26.9	143	0.12	0.19
L B-170X	$2.14 \times 10^{8}$	$3\frac{1}{2}$	1.000	69.26	10.33	77.6	43.5	131	0.57	0.17
	$3.5 \times 10^{8}$	$4\frac{1}{2}(+)$	1.004	90.14	12.39	131	72.1	128	0.86	0.18
	$5.02 \times 10^{8}$	$4\frac{1}{2}(+)$	1.009	118.5	14.94	204	107	125	1.11	0.19

表5 試料油の放射線照射前後の性状

項目	照 射 量	色 相	比 重	粘 度	(cSt)	粘度增加率(%)		37 T	酸価	
式 料 (r)	( <sub>7</sub> )	(ユニオン)	(15/4℃)	37.8℃	98.9℃	37.8℃	98.9℃	VI	(mgKOH/g)	$\mu$
	0	2 (-)	0.936	24.12	4.26			83	0.02	0.16
R N-1	$1.0 \times 10^{8}$	2½	0.944		-	_	-	-	0.05	0.14
	$5.0 \times 10^{8}$	4	0.957	61.42	5.89	154	38.3	0	0.19	0.14
	0	4 (-)	0.973	25. 26	3.58	_	_	-61	0.02	0.17
R N-3	$1.0 \times 10^{8}$	4	0.984			_		-	0.04	0.18
	$5.0 \times 10^{8}$	4½	0.993	42.74	4.61	69.3	28.8	-74	0.14	0.16
	0	1	0.913	33.43	4.74			43	0.02	0.17
R N-6	$7.0 \times 10^{8}$	1½	0.919			-		_	0.02	0.16
	$5.0 \times 10^{8}$	$2\frac{1}{2}(-)$	0.924	69.74	6.99	108	47.5	44	0.08	0.16
	0	1½	0.864	49.50	7.59	_	_	108	0.05	0. 22
	$1.3 \times 10^{8}$	3½	0.868	55.70	7.74	16.7	12.7	111	0.03	0.24
RRL-3	$2.14 \times 10^{8}$	4 (+)	0.869	61.65	8.19	29.2	28.0	110	0.05	0.25
	$3.5 \times 10^{8}$	5 (-)	0.872	72.40	9.28	51.7	35.0	112	0.08	0.22
	$5.02 \times 10^{8}$	6 (-)	0.874	86. 25	10.38	80.7	51.0	110	0.09	0.22
	0	2 (+)	0.904	138.5	10.40		_	45	0.02	0.19
RRL-4	$1.0 \times 10^{8}$	4	0.907	160.3	11.10	15.7	6.7	39	0.11	0.13
	$5.0 \times 10^{8}$	8	0.914	266.7	13.10	92.6	26.0	<b>-</b> 5	0.16	0.12

# 4. Co-60 γ 線照射による劣化

#### 4.1 一般性状の変化

表 4,5 は放射線照射による変化を示したものである。 表中 LB-170X はポリアルキレングリコール油である。 比重はやや大きくなり粘度指数は低下の傾向がある。 酸価は若干減少するか,あるいは増大する。 LB-170X のみ 酸価は大きく増しているが,化学構造上予期された結果である。 境界摩擦係数  $\mu$  はわずかに低下する傾向がある。以上の変化はいずれにしても小さい。しかし色相変化はかなり大きく,かつ粘度増加が著しい。 すなわち  $\gamma$  線による油の変質は,特に粘度について著しく酸化劣化は LB-170X を除きほとんど問題にならない。

図4は粘度変化率であるが、はじめの予想ではアロマテック含量の大なる油ほど粘度変化は少ないものと考えていた。しかしそのような結果は得られず、必ずしもアロマテック含量の多い油が耐放射線性にすぐれているとはいえない。また検討した油のうち A-90 タービン油は比較的すぐれた油である。また試作 RN 系では RN-3 がよい。輸入原子力用油 RRL 系でタービン用として推奨されている RRL-3 は化学組成的に普通のタービン油と同様のものであり、 $\gamma$  線照射による粘度変化は A-90 油、B-90 油よりも大きい。

さきに各油のn-d-M分析値を示し、 $R_A/C_A$ の違い、 $R_A \geq C_A$ の数値、あるいはシリカゲルクロマト分析を行なってアロマテックの

重量%を示し、これらの結果がγ線照射結果と関係するであろうことを考えていたが、照射結果は予期に反した。あるいはここに実施した照射実験での線量率が大きかったためかと考えられるが、この点については後日改めて検討したいと思う。

# 4.2 赤外線吸収スペクトルの変化

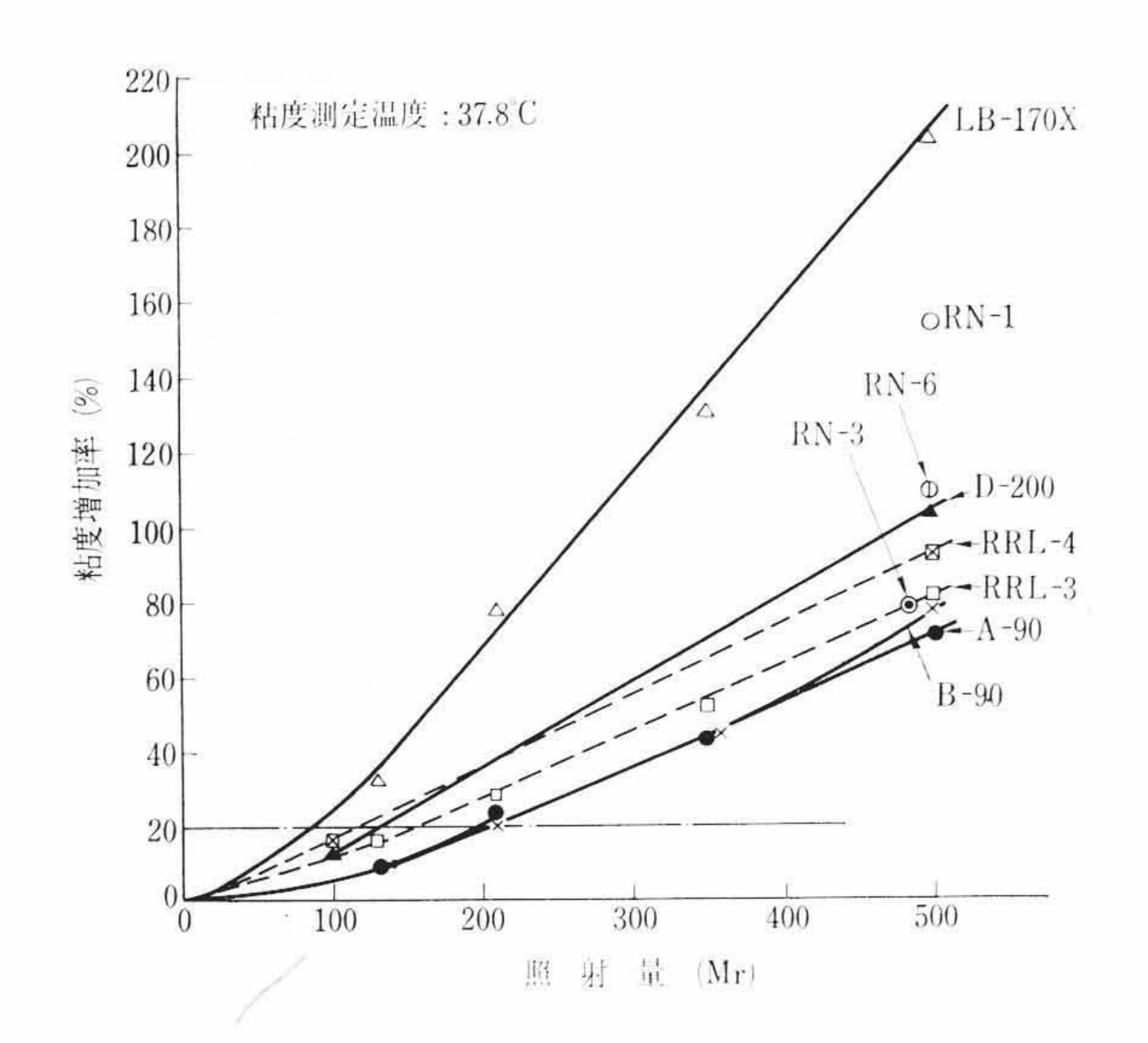
# 4.2.1 γ線照射直後のスペクトル

図 5 に RRL-4 の場合を示す。波数  $1,800 \sim 1,400$  cm<sup>-1</sup> の領域では特に大きな変化はない。ただし RRL-3 の場合は 1,700 cm<sup>-1</sup> 付近に若干の吸収が現われる。これは RRL-3 が  $\gamma$  線照射後の酸価がやや大きくなっていることと符合する。すなわち  $\gamma$  線による油の変質は油分子間のクロスリンクのみでなく,酸化も多少起こることを示している。

波数  $1,000 \sim 700 \, \mathrm{cm}^{-1}$  の領域では明らかに  $965 \, \mathrm{cm}^{-1}$ ,  $910 \, \mathrm{cm}^{-1}$ ,  $885 \, \mathrm{cm}^{-1}$  に変化が起こっている。これらの吸収は環状 C-C の伸縮振動によるものと帰属されている。この結果は  $\gamma$  線照射によって炭素-水素の結合状態が変わり, 飽和環状構造が増えることを意味する。この構造変化により粘度指数が低下する傾向を示したものであろう。

## 4.2.2 γ線照射後長期間放置した場合

B-90 タービン油に関する測定結果を図るに示す。またこれに関連して測定した油の酸価を表るに示す。B-90 油は $\gamma$  線照射直後では $5.02\times10^8\gamma$  照射しても $1,800\sim1,500$  cm $^{-1}$  領域の赤外スペ



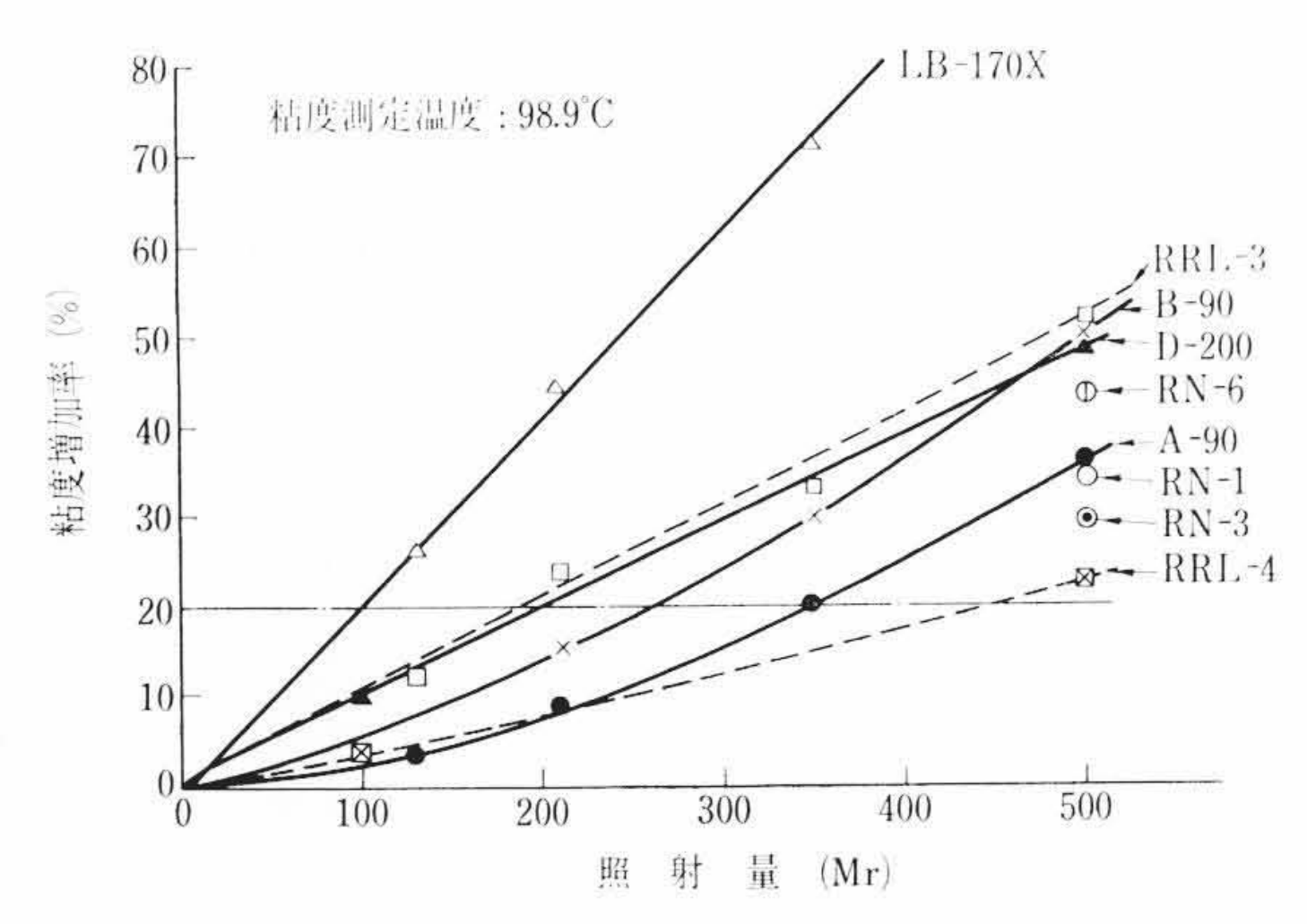


図4 γ線照射した試料の粘度増加

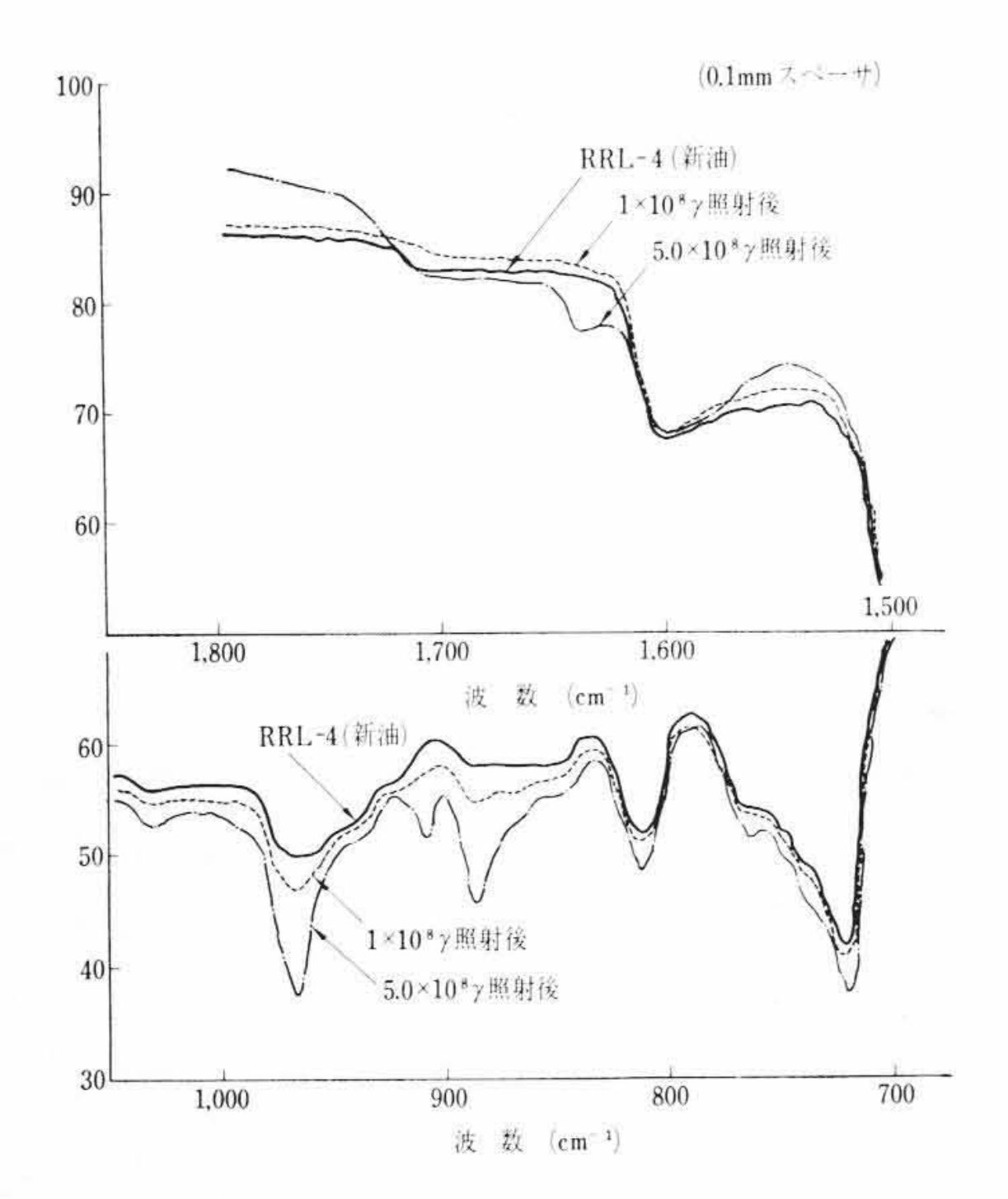


図5 RR-4油のγ線照射による変質

クトルは新油と大差がない。しかし室内に約5年放置したものでは  $2.14\times10^8$   $\gamma$ ,  $5.02\times10^8$   $\gamma$  照射した試料の場合 1,700 cm $^{-1}$  付近に著しい吸収を示す。しかし  $1.3\times10^8$   $\gamma$  照射した試料では照射直後と大差ない。一方酸価も表 6 にみられるように、1,700 cm $^{-1}$  付近に強い吸収を示したものは約 2 mgKOH/gとなっており大きく増加している。B-90 油は  $\gamma$  線照射直後において酸価にも赤外スペクトルにも異常がなかったのに、そのまま空中に放置することにより、ある線量以上照射したものに著しい酸化劣化が起こった

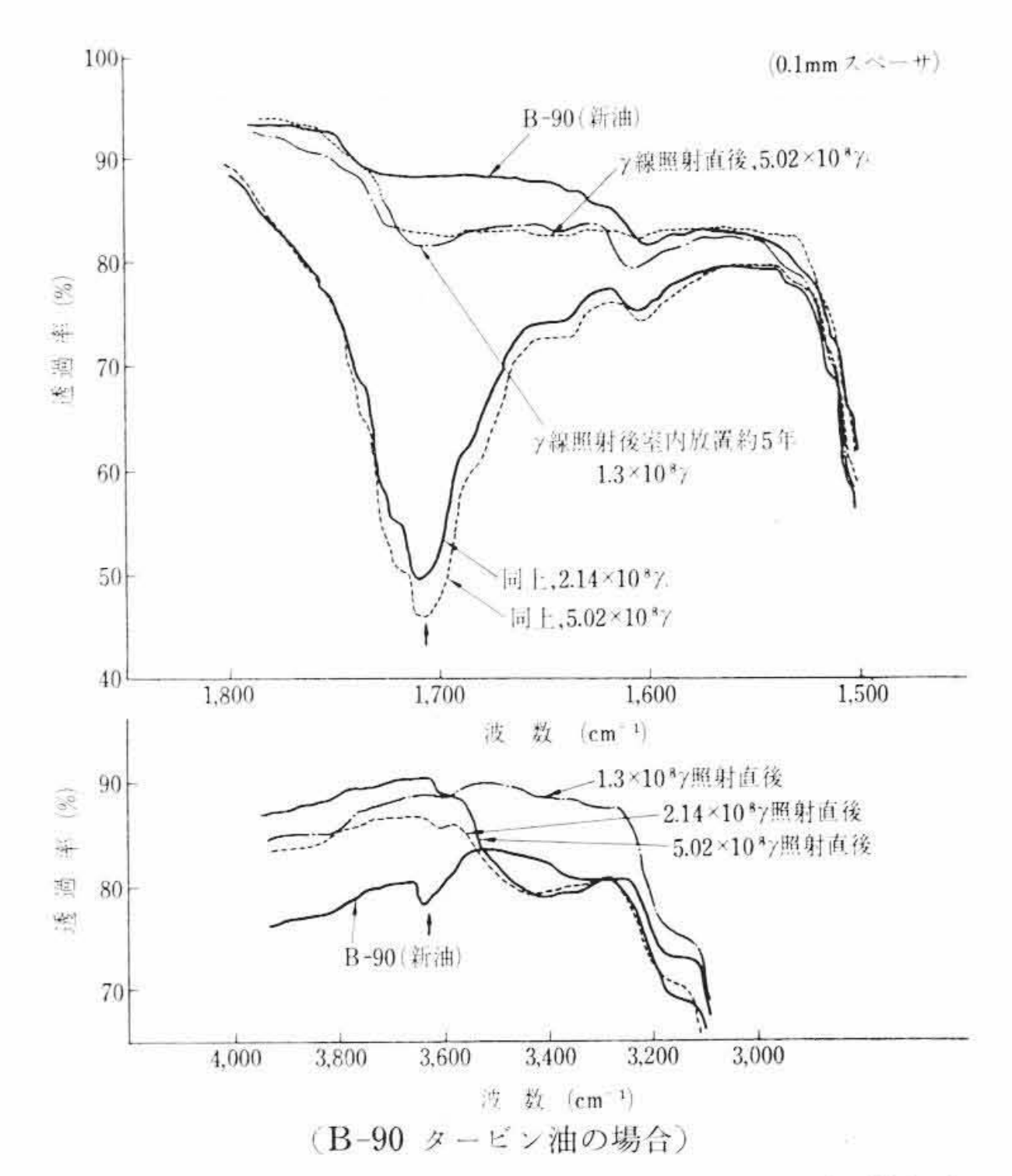


図6 γ線照射後長期間空中放置した油の変質有無

表6 γ線照射による酸価の変化

項目	γ線照射量	酸	価 (mgl	KOH/g)	
試 料	(γ)	照 射 前	照射直後	照射後空中 放置約5年	
	$1.3 \times 10^{8}$	0.08	0.02	0.14	
A- 90	$3.5 \times 10^{8}$	0.08	0.02	0.22	
	$5.02 \times 10^{8}$	0.08	0.03	0.67	
	1.3 ×108	0.06		0.25	
B- 90	$3.5 \times 10^{8}$	0.06	0.02	2.17	
	$5.02 \times 10^{8}$	0.06	0.04	2.14	
D 000	1.0 ×10 <sup>8</sup>	0.08	0.03	0.09	
D-200	$5.0 \times 10^{8}$	0.08	0.03	0.17	
	$1.3 \times 10^{8}$	0.05	0.03	0.53	
RRL-3	$3.5 \times 10^{8}$	0.05	0.08	0.37	
	$5.02{\times}10^8$	0.05	0.09	1.12	
DDI 4	1.0 ×10 <sup>8</sup>	0.02	0.11	0.10	
RRL-4	$5.0 \times 10^8$	0.02	0.16	0.27	
DN 1	1.0 ×10 <sup>8</sup>	0.02	0.05		
R N-1	$5.0 \times 10^{8}$	0.02	0.19	0.37	
D.N. o	1.0 ×108	0.02	0.04	_	
R N-3	$5.0 \times 10^{8}$	0.02	0.14	0.33	
DN 6	1.0 ×108	0.02	0.02	_	
R N-6	$5.0 \times 10^{8}$	0.02	0.08	0.20	

わけである。B-90油は図6に示すように波数3,640 cm-1 付近に 若干の吸収をもつ油である。この吸収はタービン油の酸化防止剤 として用いられるDBPC (ジ・ターシャリ・ブチル・パラクレゾ ール)の分子構造に関係する特性吸収と考えられるが,γ線照射 1.3~5.02×10<sup>8</sup>γ後の油ではこの吸収がはっきりしなくなってい る。この場合の分析精度から DBPC がまったく変質してしまった とは断定できないが、γ線照射により DBPC が破壊をうけること は明らかである。γ線照射直後の酸価が新油と大差ない事実から, その段階では今回の赤外分析にかからない程度の DBPC がまだ 残っていたかも知れない。あるいはほかの酸化防止剤が存在して いたのであろう。しかしその後の室内放置により酸化が進んでい るので、酸化の連鎖をひき起こすべき酸化生成物が微量に存在し ていたであろうことが推定される。1.3×10°γ程度の照射に対し てはこれらの酸化生成物による酸化を十分おさえ得たが 2×10°γ 以上の照射をうけたものでは、その後の酸化を防止する効果はな くなっていたものと考えられる。

以上のことから放射線による油の変質は粘度変化にのみ注目すべきものではなく、酸化現象および酸化防止剤の破壊がともなっ

ていることに注意する必要がある。放射線による油の劣化について,その初期段階では劣化機構上生成した遊離基と酸化防止剤との反応が考えられているのは周知のとおりであるが,上記の結果からもやはり酸化防止剤の意義は大きいと思われる。

赤外データは省略するが、RRL-3の基本的な化学組成は B-90油に似ており、アロマテック含量の少ない油であるが、 $3.5 \times 10^8 \gamma$  照射試料でも  $1,700 \, \mathrm{cm}^{-1}$  付近の吸収は照射直後と大差ない。すなわち B-90油よりも安定である。RRL-3が B-90油より安定なのは油の化学組成の差によるのではなく添加剤に違いがあるのではないかと推定される。

また RRL-4 は前記した RRL-3 よりもアロマテックに富んでいる。この場合は  $5.0 \times 10^8 \gamma$  照射したものでも酸化は進行しない。 RRL-3 と RRL-4 とは同一製造者によるもので,酸化防止剤が同じと仮定すれば,アロマテック含量の差が影響しているのかも知れない。

表 6 で明らかなとおり A-90 タービン油は  $5.02 \times 10^8 \gamma$  照射した 試料でも酸化の進行は少なく,前記 B-90,RRL-3 よりもすぐれている。 A-90 油よりも若干アロマテック含量の多い RN-6 は表 6 に示すとおり A-90 よりも酸化は進行しない。

以上の結果から酸化防止剤の選択とアロマテック含量の両者が酸化の進行に関係があるように思われるが、データからみてこの場合は酸化防止剤の効果が大きいように思われる。この問題を明らかにするには、アロマテックに関する分析と同時に酸化防止剤を明らかにし、かつ放射線の照射により生成する物質を詳細に検討する必要がある。しかし本報ではこのような評価の検討は不可能である。ただこれらを考慮することにより、さらにすぐれた油ができるであろうことが期待される。

#### 5. 結 言

実験結果を要約すると以下のようである。

- (1) 鉱油中のアロマテック含量が多いほど放射線による劣化は 少ないという結果がすでに報告されており、本報でもそれ を期待して実験したが、予期に反しアロマテック含量を多 くしても必ずしもよい結果は得られなかった。
- (2) γ線照射直後に測定した色相,比重,粘度,粘度指数,酸価,境界摩擦係数については,色相および粘度に著しい変化がみられ,そのほかはわずかに変化する程度である。
- (3) 赤外線吸収スペクトルにおいて波数 965 cm<sup>-1</sup>, 910 cm<sup>-1</sup>, 885 cm<sup>-1</sup> の吸収に変化がみられ,これらは γ線照射前よりも強くなる。その相対吸収強度は 965 cm<sup>-1</sup> の吸収が最も強く,885 cm<sup>-1</sup> の吸収がこれにつぐ。この結果は γ線照射

- により飽和環構造が増したことを意味する。このためか γ 線照射後の油の粘度指数は一般に低下している。
- (4) γ線照射により赤外スペクトルにおける 3,640 cm<sup>-1</sup> 付近の 吸収は消失する。
- (5) γ線照射後,空中に放置すると著しく酸化劣化が進行する 油がある。この酸化現象は油中のアロマテック含量,酸化 防止剤の耐放射線性の大小に関係すると考えられるが,こ の点についてはさらに今後検討を要する。
- (6) 油の粘度変化に対する許容限度を 20% とすると、タービン油の許容線量は  $1\sim2\times10^8\gamma$  である。しかし酸化現象についても十分注意すべきであると考える。

なお本報の結果から A-90 タービン油がすぐれている。RRL-3 はこれよりも劣る。また B-90 油は酸化防止剤が $\gamma$ 線に弱いと思われる。D.B.Cox 氏ら $^{(8)}$ , R.F. Hausmann 氏らの報告 $^{(4)}$ によれば少なくともタービン軸受の潤滑に関しては放射線の照射レベルが低く,放射線による油の変質は問題とするに足りず特に耐放射線性の大きい油を用いる必要はないといわれている。したがって D.B.Cox 氏らはむしろ酸化安定性その他の物理化学特性に着目して油を選ぶ必要があると称している。酸化劣化を考えるとき酸化防止剤が放射線により破壊をうけやすいものがあるので,この点に留意すべきであり,本報に扱った油では A-90 のような特性のものがよいと思う。

なおわが国では鉱油について放射線の存在下に使用すべきものを 目標とした吟味は行なわれていないが、本報の結果から十分検討の 余地があると思う。終わりに各種アロマテック含量の # 90 タービ ン油相当品につき試作を煩した石油会社の各位、そのほかの試油な らびに資料の提供をいただいた各石油会社に対し厚くお礼申し上 げる。

## 参 考 文 献

- (1) R. O. Bolt and J. G. Carroll: Radiation Effects on Organic Materials, New York. Academic (1963)
- (2) S. L. Cosgrove: REIC Report. No. 4 March 15 (1960)
- (3) J. G. Carroll, R. O. Bolt, C. E. Cunniff and P. T. Heyl: Lubrication Eng. 18, 64 (1962)
- (4) R. F. Hausmann and E. R. Booser: Lubrication Eng. 13, 199 (1957)
- (5) V. W. David and R. Irving: Effects of Nuclear Radiation on Hydrocarbon Oils. Greases, and Some Synthetic Fluids, Shell-Mex Hause (1958)
- (6) 茂庭, 本間: 日立評論 47, 1616 (昭 39-10)
- (7) 茂庭, 本間: 潤滑 10, 41 (昭 40-1)
- (8) D. B. Cox, E. A. Oberright and R. J. Green: ASLE Trans., 5, 126 (1962)